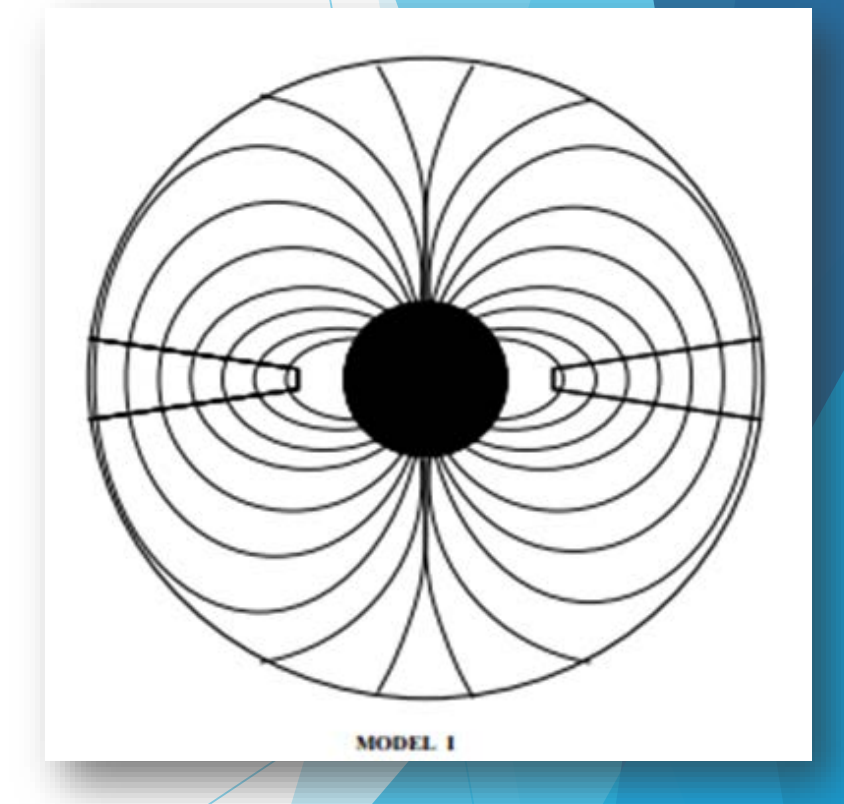
強磁場中心天体と 周辺プラズマの 相互作用シミュレーション

2018/2/22

宇宙物理学研究室 河村浩良

目的

- ▶ 数値計算により、中心天体がダイポール磁場を持つ場合の相互作用の様子をシミュレーション。
- ▶ ダイポール磁場のような強い背景場が存在しても、 安定して数値計算できる工夫が必要。
- ▶ 今回は、その数値コードの開発まで。



MILLER & STONE (1997)

ダイポール磁場とは?

- ▶ 地磁気もダイポール磁場。
- ▶ 磁場の式は以下の様になる。

$$\boldsymbol{B_0} = -\frac{1}{4\pi} \left\{ \frac{\boldsymbol{m}}{r^3} - \frac{3(\boldsymbol{m} \cdot \boldsymbol{r})}{r^5} \boldsymbol{r} \right\}$$

m:磁気双極子モーメント

▶ 次のような特徴を持つ。

$$\nabla \times \boldsymbol{B_0} = 0$$

シミュレーション方法

- ▶ 磁気流体コードCANS+を使用。
- ▶ 初期条件にダイポール磁場を与えた。
- ▶ 強磁場の場合、安定して計算するのは難しい。
- ightharpoonup 数値計算において、磁場を $B=B_0+B_1$ の形に分離。
- \triangleright B_1 について解くコードへCANS+を変更。
- ▶ 特に、数値フラックスを求めるための近似リーマン解法に対して、修正を行った。(最終的にはHLLD法に切り替え)

なぜ、磁場を分離する必要があるのか?

- ▶ 計算による誤差が大きくなるのを防ぐため。例えば、エネルギーについて考える。背景場が大きい場合、全エネルギーに占める磁場のエネルギーが多くなる。
- ▶ 全エネルギーから磁気エネルギーの差をとったときに桁落ちが生じてしまい、圧力などの計算で誤差が大きくなってしまう。
- ▶ また、背景場が大きい場合、数値計算で磁場の誤差により ∇×B が大きくなり、誤差から生じるローレンツカによる 運動が起こる。これを抑えたい。
- ▶ 背景場分離したMHD方程式を導出し、CANS+に導入した。

理想MHD方程式

▶ 一般的な方程式

$$\frac{\partial \mathbf{U}}{\partial t} + \nabla \cdot \mathbf{F} = 0$$

▶ 但し、

$$m{U} = \begin{pmatrix}
ho \
ho m{v} \ m{B} \end{pmatrix}$$
 $m{F} = \begin{pmatrix}
ho m{v} m{v} + p_T \ddot{\mathbf{I}} - B m{B} \ m{v} m{B} - B m{v} \ (e + p_T) m{v} - B (m{v} \cdot m{B}) \end{pmatrix}$ ho : 質量密度 $m{v}$:速度ベクトル $\ddot{\mathbf{I}}$:単位行列 $p_T = p + \frac{|m{B}|^2}{2}$ $e =
ho \left(\varepsilon + \frac{|m{v}|^2}{2} \right) + \frac{|m{B}|^2}{2}$ p :圧力 $\varepsilon = \frac{p}{(\gamma - 1)
ho}$:内部エネルギー

$$m{B} = m{B_0} + m{B_1}$$
の形に分離すると $rac{\partial m{U_1}}{\partial t} + m{V} \cdot m{F_1} = 0$

▶ 但し、

$$U_{1} = \begin{pmatrix} \rho \\ \rho v \\ B_{1} \\ e_{1} \end{pmatrix} \quad F_{1} = \begin{pmatrix} \rho v v + p_{T} \ddot{I} - B B_{1} + B_{1} B_{0} \\ v B - B v \\ (e_{1} + p_{T} + B_{0}^{2}) v - B (v \cdot B) \end{pmatrix}$$

 ρ : 質量密度 v:速度ベクトル \ddot{I} : 単位行列

$$p_T = p + \frac{|\boldsymbol{B_1}|^2}{2} + \boldsymbol{B_1} \cdot \boldsymbol{B_0}$$

$$e_1 = \rho \left(\varepsilon + \frac{|\boldsymbol{v}|^2}{2} \right) + \frac{|\boldsymbol{B_1}|^2}{2} + \boldsymbol{B_1} \cdot \boldsymbol{B_0}$$

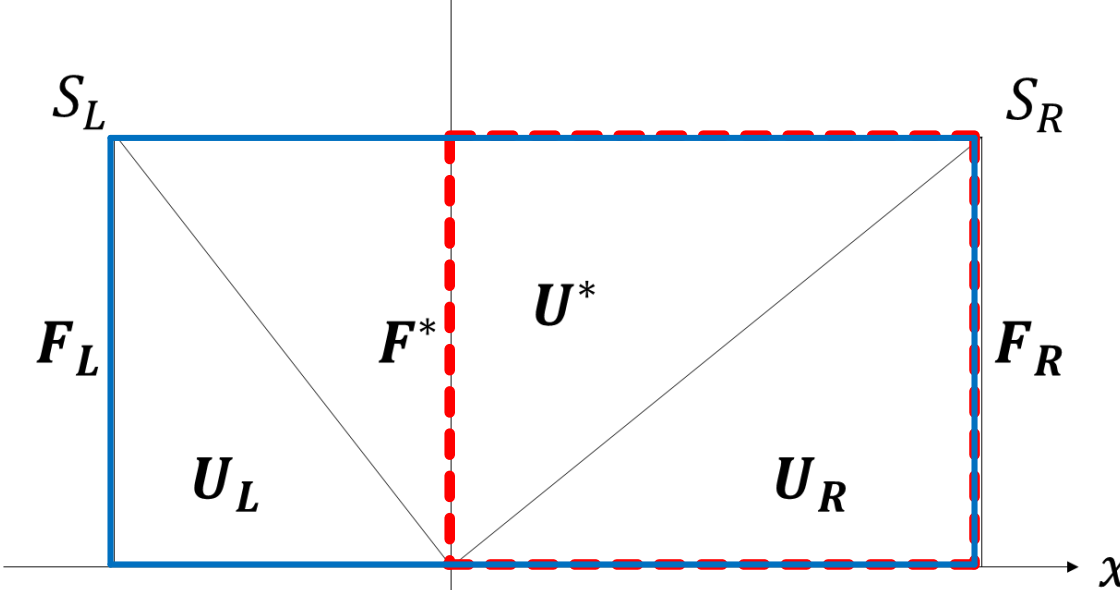
$$p_T: 圧力 \quad \varepsilon = \frac{p}{(\gamma - 1)\rho} : 内部エネルギー$$

HLL法
$$\frac{\partial \mathbf{U}}{\partial t} + \nabla \cdot \mathbf{F} = 0$$
 の数値解法

▶ 速い速度 S_R と遅い速度 S_L によって囲まれた $[S_L\Delta t, S_R\Delta t] × [0, \Delta t]$ 領域(青線)において

$$\frac{1}{\Delta t} \int_{S_L \Delta t}^{S_R \Delta t} \boldsymbol{U}(x, t) dx - S_R \boldsymbol{U}_R + S_L \boldsymbol{U}_L + \boldsymbol{F}_R - \boldsymbol{F}_L = 0 \quad \cdots (1)$$

を満たす近似解を解く。 t



$$(S_R - S_L)\boldsymbol{U}^* - S_R \boldsymbol{U}_R + S_L \boldsymbol{U}_L + \boldsymbol{F}_R - \boldsymbol{F}_L = 0$$

$$\boldsymbol{U}^* = \frac{S_R \boldsymbol{U}_R - S_L \boldsymbol{U}_L - \boldsymbol{F}_R + \boldsymbol{F}_L}{S_R - S_L} \quad \cdots (2)$$

- ▶ 次に、赤の点線によって囲まれた領域での保存則を考える。
- ▶ (1)より、

$$S_R \mathbf{U}^* - S_R \mathbf{U}_R + \mathbf{F}_R - \mathbf{F}^* = 0 \quad \cdots \quad (3)$$

が得られる。(2),(3)より、

$$\mathbf{F}^* = \frac{S_R \mathbf{F_L} - S_L \mathbf{F_R} + S_R S_L (\mathbf{U_R} - \mathbf{U_L})}{S_R - S_I} \qquad \cdots (4)$$

が得られる。ここで、 S_R, S_L は、

$$S_R = \max(v_R + c_{fR}, v_L + c_{fL})$$

$$S_L = \min(v_R - c_{fR}, v_L - c_{fL})$$

であると、近似する。

▶ 例えば、

$$F_{rxl} = \rho_{xl} v_{xl}^2 + p_{tl} - B_x^2$$



 $F_{rxl} = \rho_{xl} v_{xl}^2 + p_{tl} - \{(B_0 + B_x) \times B_x + B_x \times B_0\}$ のように変更。他の成分、右側のフラックスも分離したMHD 方程式に変更。

$$U_{1} = \begin{pmatrix} \rho \\ \rho v \\ B_{1} \\ e_{1} \end{pmatrix} \quad F_{1} = \begin{pmatrix} \rho v v + p_{T} \ddot{\mathbf{I}} - B B_{1} + B_{1} B_{0} \\ v B - B v \\ (e_{1} + p_{T} + B_{0}^{2}) v - B (v \cdot B) \end{pmatrix}$$

規格化

- ightharpoonup 空間スケール:中心天体の半径 H_0 (以降 R で表記)
- ightharpoonup 磁場スケール:極での磁場 B_0
- ightharpoonup 密度スケール:中心天体の密度 ho_0
- ▶ 速度スケール: $v_a = \frac{B_0}{\sqrt{4\pi\rho_0}}$
- ト 時間スケール: $t_0 = \frac{R}{v_a}$
- ト 圧力スケール: $p_0 = \rho_0 v_a^2$

計算モデル

> 初期条件

$$R=1.0$$
 $\rho=1.0$ $v_x=v_y=v_z=0.0$ $p=0.010\pm0.001(10%の擾乱)$

磁場は、極で大きさが 1.0 になるようにダイポール磁場を与えた。

計算領域: $(0 \le r \le 10, -5.0 \le z \le 5.0)$

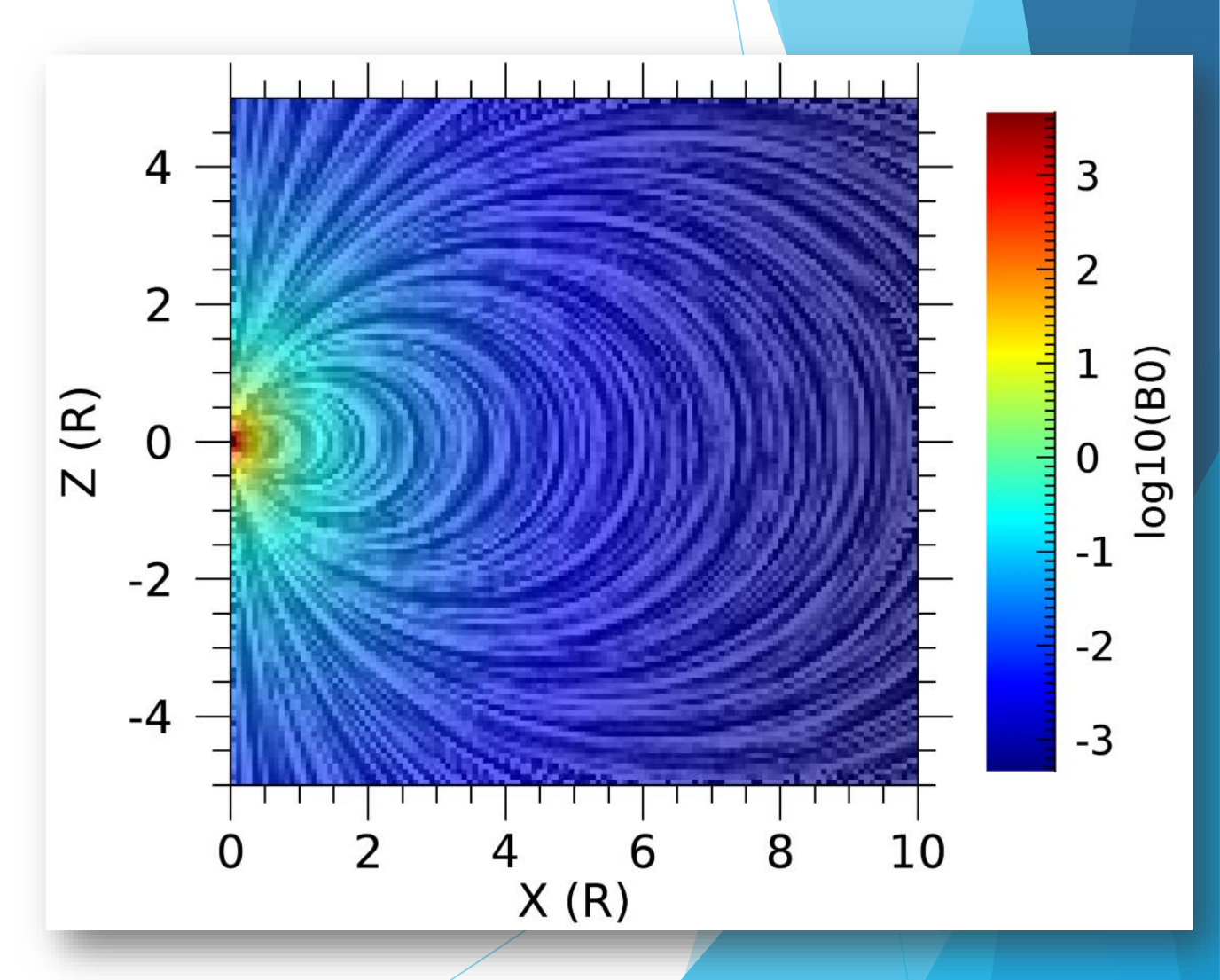
▶ 境界条件

r < 1.0:初期状態を代入

 φ 方向:周期境界条件

z軸: ρ ,p, v_z , B_z (は対称。 v_x , B_x (は半対称。

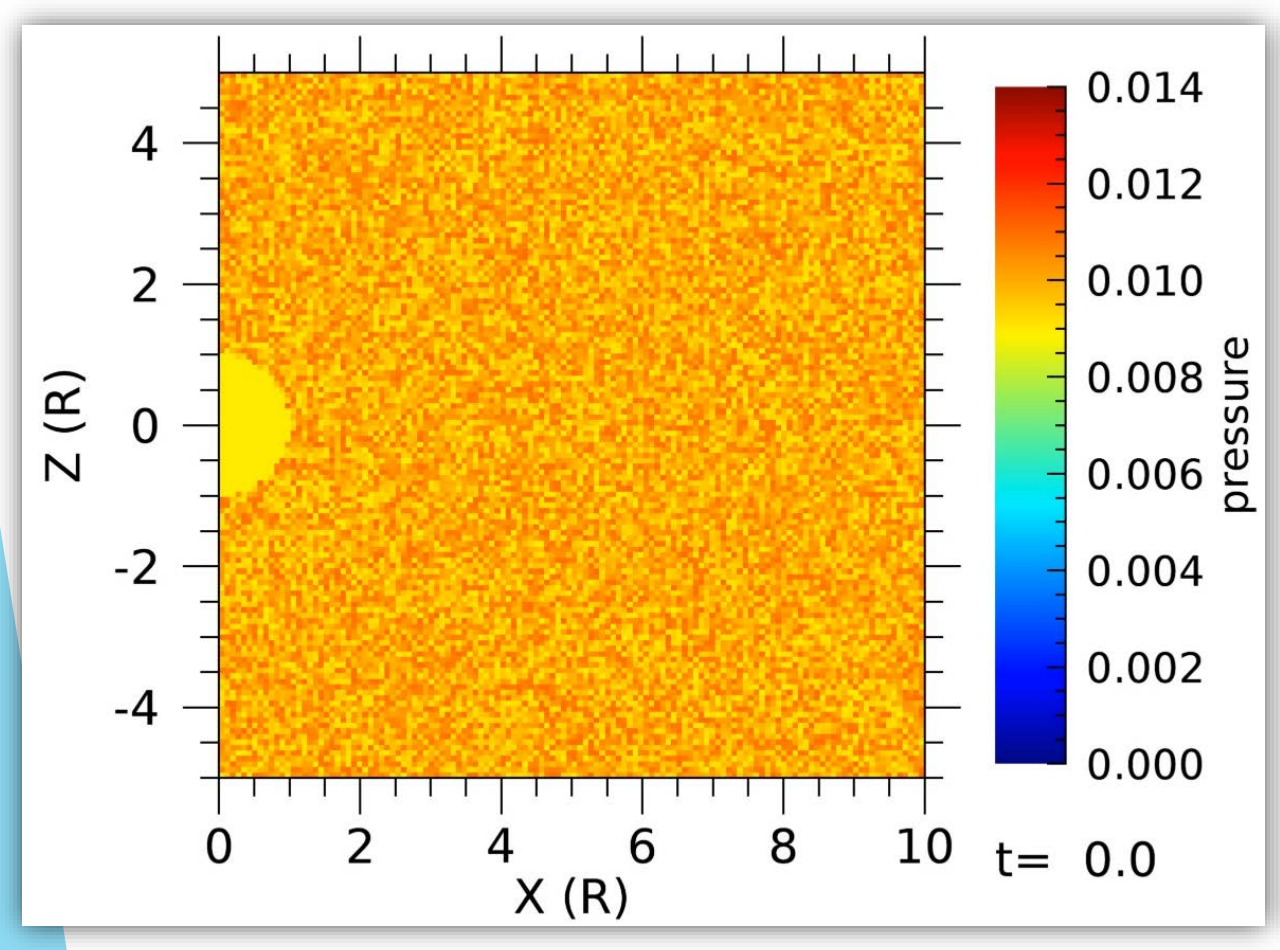
それ以外の計算領域の境界:自由境界条件(物理量外挿)



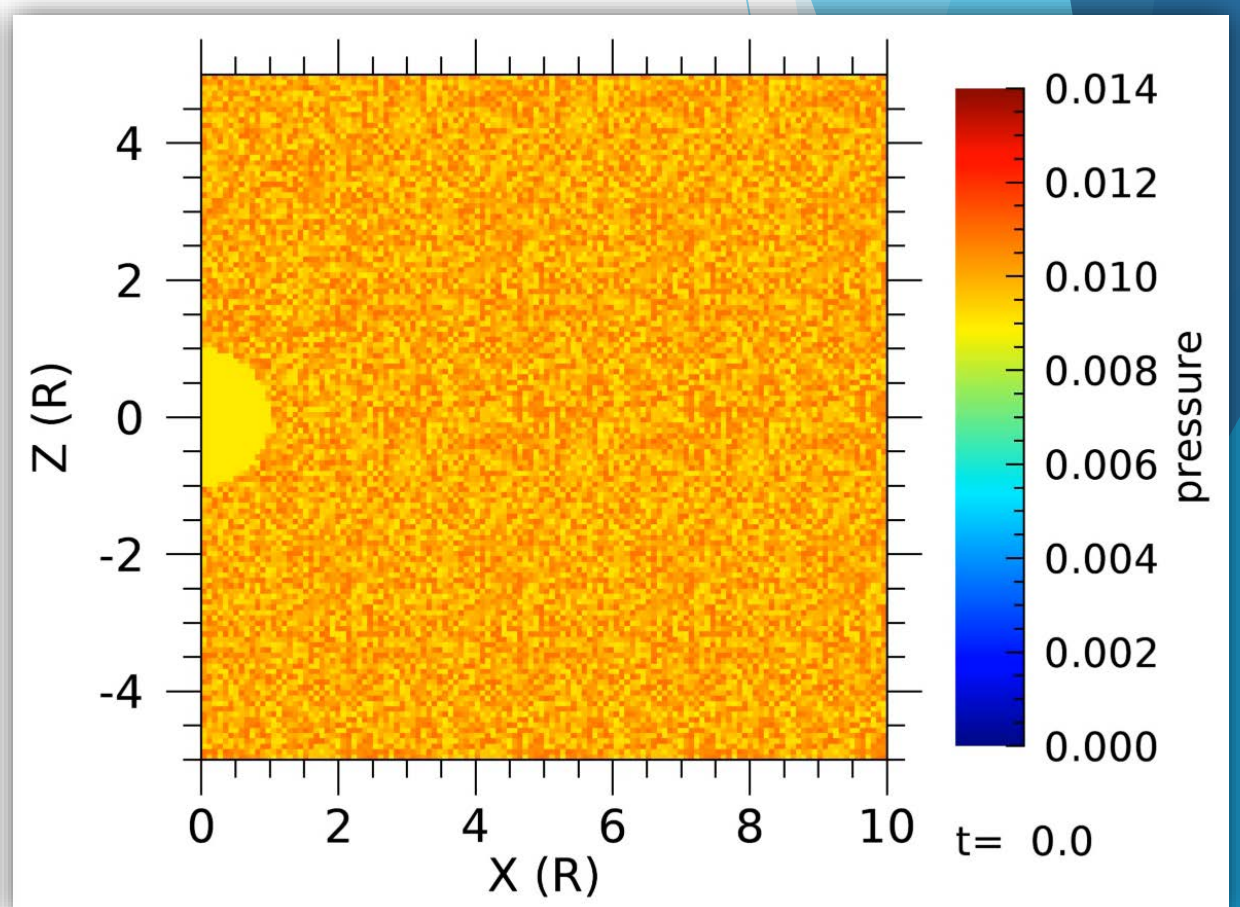


圧力分布

分離なし



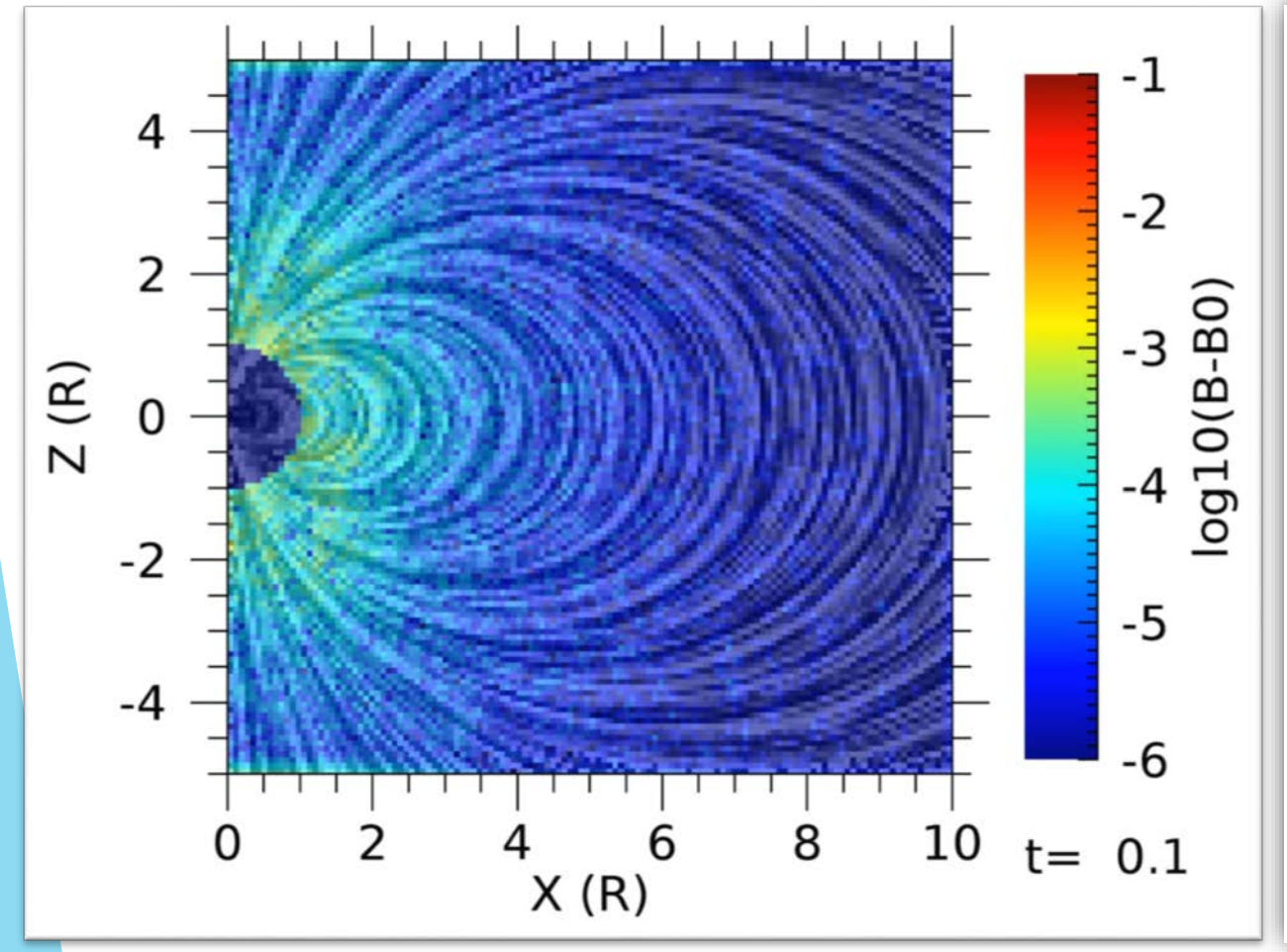
分離あり



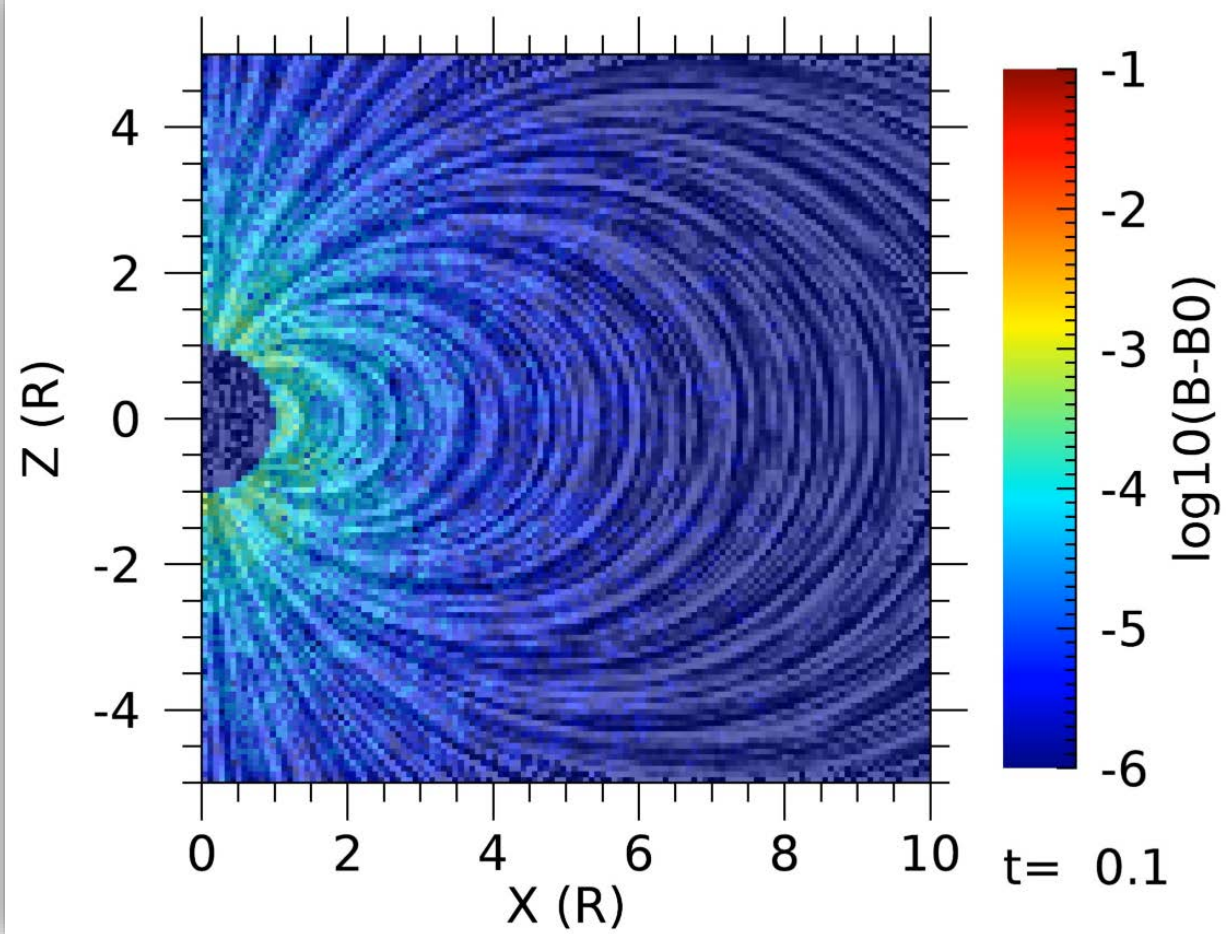


磁場の時間変化

分離なし



分離あり

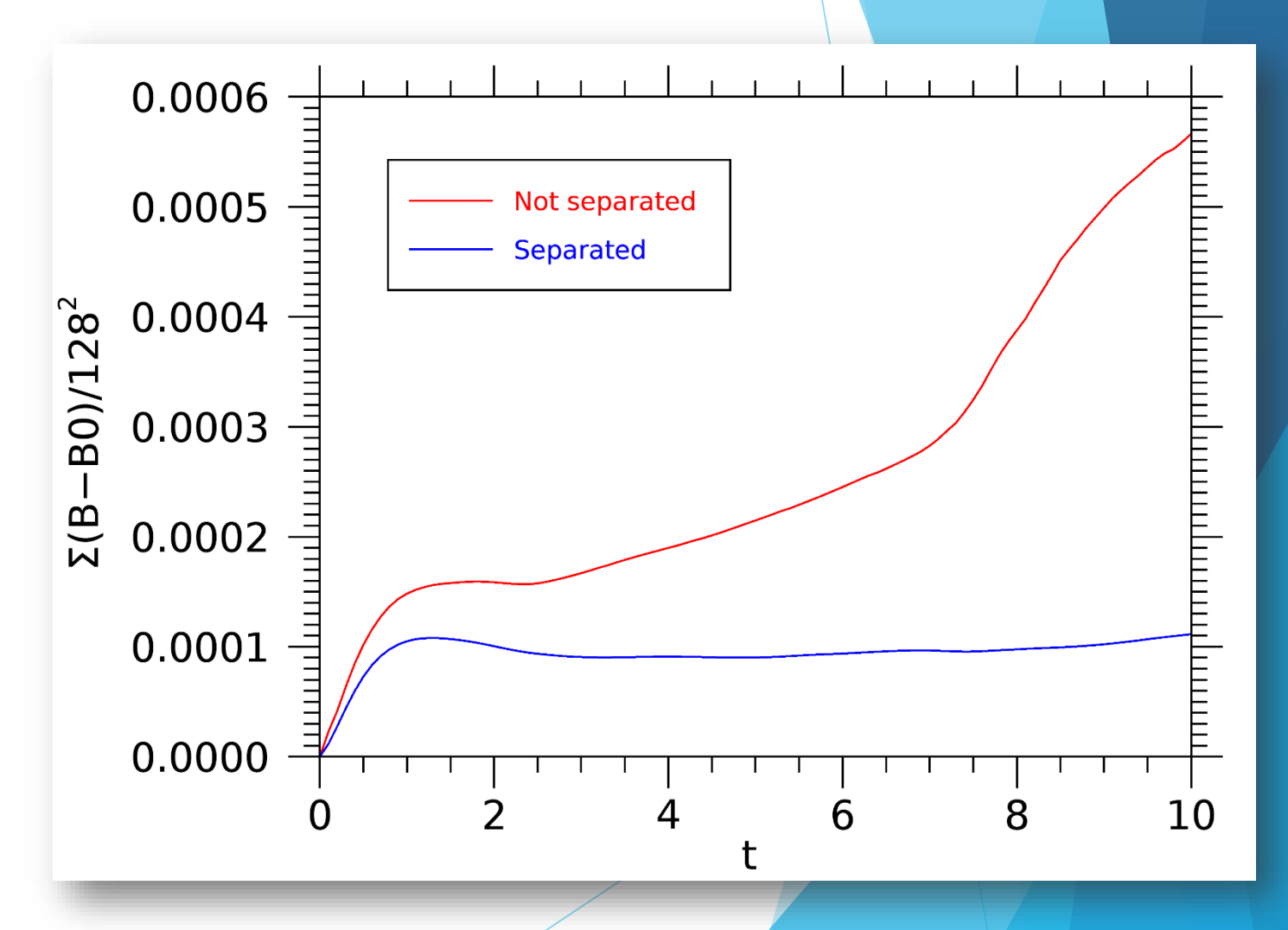


全領域での $B-B_0$ の和の時間変化の平均

- ▶ 赤線が分離なし。青線が分離 あり。
- ▶ 分離なしだと、時間経過と共 に増加する。



> 分離すると、およそ t=1.0 後はほぼ変化しなくなる。



まとめ

- ▶ CANS+を修正して、背景場を分離したコードを作成して、 テスト計算を実施した。
- ▶ 分離する前と比べて、誤差が小さく保たれた。
- ▶ 今回は、ダイポール磁場のみ。⇒ 今後、周辺にディスクを おいて相互作用シミュレーションを行う。